

Research Paper

Detecting Spatial Distribution Patterns of Ancient Sites during Godin III Associated with Climatic and Physiographic Factors in Silakhor Plain

Masoume Chengai¹, Tayebeh Akbari Azirani^{2*}, Shahriar Khaledi³, Atta Hasanpour⁴

1. Ph.D. Student, Department of Physical Geography, Faculty of Earth Sciences, Shahid Beheshti University, Tehran, Iran

2. Assistant Professor, Department of Physical Geography, Faculty of Earth Sciences, Shahid Beheshti University, Tehran, Iran

3. Professor, Department of Physical Geography, Faculty of Earth Sciences, Shahid Beheshti University Tehran Iran

4. Ph.D. in Archaeology, Lorestan Cultural Heritage Organization, Lorestan, Iran

Received: 2022/10/31

Accepted: 2023/1/8

ABSTRACT

Environmental and climatic factors have been found to play a fundamental role in the formation of ancient societies. The Godin III period or the New Bronze Age (1400-2600 BC) has actually been the most important Bronze Age stage in western Iran, which played a key role in the cultural structure and urban formation. The main goal of this research is to reveal the spatial distribution of the Godin III period in relation to climatic conditions and geography of Lorestan province's Silakhor plain. The results of the spatial autocorrelation analysis indicate that the spatial distribution of Godin III followed a linear cluster pattern, with two climatic factors of precipitation and vegetation being the most important environmental elements. The frequently distributed ancient sites of the Godin III period have a spatial correlation of 0.75 with vegetation in Silakhor Plain showing that more than 75% of the investigated sites fall into the maximum rainfall category. The results dedicated that 90% of the investigated sites are located less than 1 km away from permanent rivers, especially the Silakhor River. Rainfall, vegetation, and surface water sources have created a linear cluster spatial distribution pattern for ancient sites of the Godin III period at the lowest elevation level. The results indicate that the lowest elevation provided the main platform for the Godin III period thus there was the absence of a major threat from the foreign enemy to the mind.

Keywords:

Silakhor Plain; Godin III Period; Environmental Factors; Ancient Sites; Lorestan Province.

***Corresponding Author:** Assistant Professor, Department of Physical Geography, Faculty Earth Sciences, Shahid Beheshti University, Tehran, Iran

<http://dor.20.1001.1.16059689.1401.0.0.12.4>

<https://doi.10.2022/hmsp.26.4.2>

ORCID: 0000000265655601

t_akbari@sbu.ac.ir

E**Extended Abstract****Introduction**

Environmental factors and elements play a decisive role in the formation and development of ancient settlements. Analyzing human settlements and ancient sites, concerning environmental conditions, can play a fundamental role in creating logical inferences and reconstruction of conditions for archaeologists. The vast and water-filled Silakhor plain was one of the first places of human settlement after the spread of agriculture. It is natural that with the emergence of agriculture, vast plains such as Silakhor in the east of Lorestan were noticed. There are many ancient sites in the Silakhor plain, which housed abundant people from the first millennia until the fourth century BC. These ancient hills were small and large settlements that were built on low hills and traps of Silakhor. Other than quick access to agricultural land, they protected the inhabitants from animals and other people. The Bronze Age in Iran begins with the third millennium BC (5000 years ago) and continues until the middle of the second millennium BC. This prehistoric period in Iran is important due to some developments such as: the emergence of urbanization, calligraphy and writing in southwestern regions, the emergence of some technologies, including bronze metal, etc. In this period, environmental elements such as topographic and physiographic characteristics, access to water resources, especially surface water, and suitable climate and weather without heat and cold stresses, played an important role in the formation and development of settlements. Therefore, in this research, the relationship between the spatial distributions of ancient sites of the Godin III period in the Dorud-Borujerd plain is investigated in relation to the structure of environmental features.

Methodology

The main goal of this research is to reveal and analyze the spatial distribution of ancient sites of the Godin III period concerning the environmental conditions in the Dorud-Borujerd plain (Silakhor plain) of Lorestan province. In this regard, 55 ancient sites related to Godin III, which were generally on the ancient hills of the two cities of Dorud and Borujerd, were obtained from the Archaeological Research Institute. These ancient sites with UTM-Z39N coordinates were entered into the GIS environment and their location on the plain was determined. On the other hand, the environmental characteristics of Silakhor Plain, including its topographic, physiographic and hydrological features, were investigated. The topographic characteristics, including the slope of sites, as well as their height, were obtained through the digital height model of the ASTER meter with a spatial resolution of 30 * 30 meters. Vegetation and land use characteristics of these sites were obtained from MODIS sensor products of the TERRA satellite. In general, the vegetation status of the region was obtained from the average of the statistical period of 2020-2000, the growth period of the region (May to September), the NDVI index of the MOD13A 3 product of this sensor, and the land cover layer was obtained from the MCD12Q1 composite product of the same sensor. The hydrological characteristics, including the distribution of surface water were obtained from the regional water company. Finally, the amount of annual precipitation as a climatic factor of water supply in the region was also obtained from the 20-year average data of two Dorud and Borujerd stations, as well as the gridded precipitation data of the WORLDCLIM database. Finally, the communication structure between ancient sites concerning these factors was obtained by implementing proximity and accessibility functions, and a cross-matrix analysis.

Results and discussion

The overall results of this research showed that the pattern of the spatial distribution of settlements of the Godin III period in the Silakhor plain was in line with the complete

dependence on the facilities and resources of the plain. In this research, it was seen that two factors of precipitation and vegetation showed a direct relationship with the frequency distribution of ancient sites in the Silakhor plain. The correlation between vegetation types with the frequency distribution of Godin III sites in the Silakhor plain was 0.75, which had a confidence level of 0.95. On the other hand, the results indicated that 90% of the studied sites (49 out of 55) are located less than 1 km from the permanent rivers of the plain, especially the Silakhor River. Therefore, this issue shows that surface water sources played a key role in the spatial distribution of ancient sites in the Dorud-Borujerd plain. These three factors, i.e. rainfall, vegetation, and surface water resources, which are three similar and interdependent factors, had created the dense and linear spatial distribution pattern of the ancient sites of the Godin III period at the lowest altitude level of the plain (altitude less than 1500 meters, which is considered to be the floor of the Silakhor Plain. However, in terms of topographical factors, the results showed that the lowest altitude level of the Silakhor Plain (1200-1500 meters) which has the lowest slope and the smoothest has been landed (slope less than 5degrees) provided the main platform for the establishment and development of the ancient sites of the Godin III period, which in a way reminds us of the absence of a major threat from the foreign enemy.

Conclusion

The lowest elevation level of the Silakhor plain provided the main platform for the creation of ancient sites of the Godin III period, suggesting the absence of a major threat from the foreign enemy. In general, the results of this research indicate that environmental factors, especially the elements related to the security of food and water sources, including vegetation, and permanent river networks on the plain, are key in creating a dense linear structure for the distribution of settlements in Godin III.

آشکارسازی الگوهای توزیع فضایی محوطه‌های باستانی دوران گودین III در ارتباط با عوامل اقلیمی و فیزیکی در حوضه سیلاخور

معصومه چنگایی^۱، طیبه اکبری ازیرانی^{۲*}، شهریار خالدی^۳، عطا حسن پور^۴

۱. دانشجوی دکتری گروه جغرافیای طبیعی، دانشکده علوم زمین، دانشگاه شهید بهشتی، تهران، ایران.
۲. استادیار گروه جغرافیای طبیعی، دانشکده علوم زمین، دانشگاه شهید بهشتی، تهران، ایران.
۳. استاد گروه جغرافیای طبیعی، دانشکده علوم زمین، دانشگاه شهید بهشتی، تهران، ایران.
۴. دکتری باستان‌شناسی، سازمان میراث فرهنگی، لرستان، ایران.

چکیده

تاریخ دریافت: ۱۴۰۱/۸/۹
تاریخ پذیرش: ۱۴۰۱/۱۰/۱۸

عوامل محیطی و اقلیمی در شکل‌گیری جوامع باستانی می‌توانند نقش‌آفرین باشند. دوره گودین III یا عصر مفرغ جدید (۱۴۰۰-۲۶۰۰ ق.م) در واقع مهم‌ترین مرحله دوره مفرغ در غرب ایران است که نقش اساسی در شکل‌گیری ساختار فرهنگی و شهرنشینی غرب کشور داشته است. هدف اساسی این تحقیق آشکارسازی توزیع فضایی سایت‌های باستانی دوره گودین III در ارتباط با شرایط اقلیمی و جغرافیای طبیعی دشت سیلاخور استان لرستان است. نتایج حاصل از تحلیل خودهم‌بستگی فضایی بیانگر آن بود که توزیع فضایی سایت‌های باستانی دوره گودین III از الگوی خوشه‌ای خطی پیروی کرده و دو فاکتور اقلیمی بارش و پوشش گیاهی مهم‌ترین المان‌های محیطی شکل‌دهنده این ساختار خوشه‌ای بوده‌اند. توزیع فراوانی سایت‌های باستانی دوره گودین III هم‌بستگی فضایی برابر ۰/۷۵ با پوشش گیاهی در دشت سیلاخور نشان داد بیش از ۷۵ درصد از سایت‌های مورد بررسی در طبقه بیشینه بارش قرار گرفته‌اند. نتایج بیانگر آن بود که ۹۰ درصد از سایت‌های مورد بررسی در فاصله کم‌تر از یک کیلومتر از رودخانه‌های دائمی به‌ویژه رودخانه سیلاخور قرار گرفته‌اند. بارش، پوشش گیاهی و منابع آب سطحی، الگوی توزیع فضایی خوشه‌ای خطی سایت‌های باستانی دوره گودین III را در پایین‌ترین تراز ارتفاعی ایجاد کرده است. نتایج نشان داد که پایین‌ترین طبقه ارتفاعی سطح دشت سیلاخور بستر اصلی را برای ایجاد محوطه‌های باستانی دوره گودین III فراهم کرده است، که به نوعی عدم وجود تهدید عمده از طرف دشمن خارجی را نیز به ذهن القا می‌کند.

دشت سیلاخور، دوره گودین III، عوامل محیطی، محوطه‌های باستانی، استان لرستان.

واژگان کلیدی:

۱. مقدمه

دشت وسیع و پرآب سیلاخور از نخستین جایگاه‌های سکونت بشر بعد از رواج کشاورزی بوده که دارای وضعیتی مناسب به‌لحاظ جغرافیایی و اقلیمی است. دشت هموار و خاک حاصلخیز در کنار منابع آبی کافی، موجب شده است

Email: t_akbari@sbu.ac.ir

* نویسنده مسئول:

فصلنامه برنامه‌ریزی و آمایش فضا

در این دشت شاهد تعداد زیادی محوطه‌های باستانی از دوران نوسنگی تا قرون اخیر باشیم (احمد پرویز، ۱۳۸۵: ۱۲). سکونت‌گاه‌های کوچک و بزرگی بر روی تپه‌ها و تله‌های کم‌ارتفاع دشت سیلاخور ساخته شده و علاوه بر دسترسی سریع به زمین‌های کشاورزی ساکنان را از حیوانات و دیگر انسان‌ها در امان نگه داشته‌اند. بررسی‌های باستان‌شناسی صورت‌گرفته طی چند دهه گذشته در منطقه زاگرس مرکزی نشان داده که این منطقه در دوره مس و سنگ شاهد افزایش جمعیت بوده است. این افزایش جمعیت براساس تعداد زیادتر محوطه‌های باستانی ثبت‌شده در این دوره نسبت به دوره قبل از آن (نوسنگی) استنباط شده است (منادی و همکاران، ۱۴۰۰: ۶۰). دوره مفرغ فراتر از پدیدار شدن مرحله‌ای نوین در فناوری است. تولید فلز، ابزارهای تولید و ابزارهای تخریب انسان را کارآمدتر کرد. تمامی فناوری‌ها و برنامه‌ریزی‌های مبتنی بر حرکت چرخشی در این دوران ریشه دارد. چرخ سفالگری، طرح‌ریزی کشت و کار و استفاده از سوراخ‌کن و کج‌بیل در این دوره پدیدار شده است (Smith, 1998: 81). فرهنگ‌های دوران مفرغ ایران از نظر تاریخی به‌طور نسبی اوایل هزاره سوم تا اواسط هزاره دوم ق.م. یعنی یک دوره حدوداً ۱۵۰۰ ساله را در بر می‌گیرد؛ شروع دوران مفرغ به نوعی مصادف است با دوره آغاز شهرنشینی. دوران آغاز شهرنشینی (Muscarella, 1974: 71) همانگونه که از نام آن برمی‌آید دربرگیرنده دورانی است که جوامع باستانی زندگی در روستاها را پشت سر گذاشته و به تدریج در مراکز بزرگ‌تر و پرجمعیت (شهر) ساکن شده‌اند. از محل گودین تپه به سمت شرق لرستان داده‌های گودین IV به صورت متوالی و بدون وجود شکاف زمانی زیادی با دوره طولانی گودین III شناسایی شده است (محمدی‌فر، ۱۳۸۶: ۱۸۲). همچنین توسعه‌های شرق کوه گرین می‌تواند گسترش سنت سفال گودین III را در منطقه منعکس سازد و مجموع سفال گودین III:6 جایگزین مجموع سفال گودین IV شده است. وجود سفال خاکستری - سیاه گودین III قدیم، مقیاس تداوم از یک مرحله به مرحله دیگر است. گودین IV با سفال متمایز خاکستری - سیاه صیقلی، مشخص شده است. به نظر می‌رسد سنت سفال گودین IV به‌عنوان سفال فرعی در این منطقه با مجموع سفال گودین III:6 همگون شده است. فرهنگ‌پذیری و تداوم سنت‌ها به جای جایگزینی یک گروه سفال‌ساز با گروه دیگر کاملاً آشکار است. توالی دوره III گودین تپه، مبنای گاه‌نگاری محکمی برای تجزیه و تحلیل توسعه فرهنگی در زاگرس مرکزی از نیمه هزاره سوم تا نیمه هزاره دوم ق.م را فراهم ساخته و تاریخ ارائه‌شده برای این دوره ۱۴۰۰ تا ۲۶۰۰ سال ق.م است. همچنین حدود پنجاه سال گاه‌نگاری سفالی نیمه هزاره سوم تا نیمه هزاره دوم ق.م در زاگرس مرکزی (لرستان جدید)، به نتایج حفاری‌های تپه گیان در دره نهاوند بستگی داشت. اگرچه از توالی لایه‌های IV-II گیان که با سنت متمایز سفال نخودی منقوش یک‌رنگ مشخص شده، تفسیرهای متفاوتی شده است، همه ارزیابی‌ها در اصل بر پایه رده‌شناسی استوار است که طرح‌های منتشرشده مدارک کمی از آن ارائه داده است. افزون‌براین گیان IV-II فقط نشان‌دهنده نیمه دوم دوره مدنظر در اینجاست. پس از آن حفاری‌های لایه‌نگاری در لایه III گودین تپه واقع در کنگاور به‌طور مطمئنی مراحل توسعه این سنت سفال منقوش یک‌رنگ و سفال‌های ساده مربوط به آن را تعیین می‌کند. فازهای لایه‌نگاری اصلی در گودین III از روی بقایای معماری دو گمانه عمیق تعیین شده که به‌عنوان لایه از آن‌ها نام برده شده است. به عبارت دیگر لایه دوره زیستگاهی منسجمی است که آغاز و انجام آن را ناپیوستگی‌هایی در سراسر کل ناحیه حفاری مشخص

فصلنامه برنامه‌ریزی و آمایش فضا

کرده و در یک لایه دست کم توالی لایه‌ای و پیوستگی زیستگاهی وجود داشته است. شماره لایه‌ها از بالا تا پایین، از یک تا شش است. بدین ترتیب فازهای گودین III از قدیم‌ترین تا جدیدترین به صورت III:6 تا III:1 شماره‌گذاری شده است (هنریکسون، ۱۳۸۲: ۴۰۵).

دوره گودین III یا عصر مفرغ جدید از حدود ۲۶۰۰ سال تا ۱۵۰۰ سال قبل از میلاد (۴۶۰۰ تا ۳۵۰۰ سال قبل) مهم‌ترین مرحله عصر مفرغ است. این دوره پیش از تاریخ در ایران، به جهت برخی از تحولات از جمله ظهور شهرنشینی، پیدایش خط و نگارش در مناطق جنوب غربی، پیدایش برخی از فناوری‌ها از جمله فناوری ساخت فلز مفرغ و دارای اهمیت است (طلایی، ۱۳۹۰: ۱۱۴). در این دوره عناصر محیطی از جمله ویژگی‌های توپوگرافی و فیزیوگرافی محیط، دسترسی به منابع آب به‌ویژه آب‌های سطحی، اقلیم و آب و هوای مناسب بدون تنش‌های گرمایی و سرمای، نقش مهمی در تشکیل و توسعه هسته‌های سکونتگاهی داشته‌اند (همان: ۱۱۴). شرایط اقلیمی و محیطی یکی از مهم‌ترین فاکتورهای محیطی برای ایجاد و توسعه سکونتگاه‌های بشری در هر منطقه است. در صورتی که شرایط اقلیمی و محیطی زمینه مساعدی برای رونق فعالیت‌های زیستی انسان فراهم کرده باشند، می‌توان انتظار داشت که در آن منطقه آثار قابل توجهی از تمدن‌های مترقی بشری را پیدا کرد، اما در حالت عکس یعنی زمانی که محدودیت‌های اقلیمی و محیطی عرصه را بر زیست بشر تنگ کرده باشند، می‌توان انتظار داشت که آثار کم‌تری از زیست و فعالیت‌های بشری در آن منطقه پیدا کرد (حیدریان، ۱۳۹۲: ۱۴۴). تحلیل الگوی استقرار یکی از موضوعات مطرح در باستان‌شناسی است که به جای تمرکز بر روی یک مکان باستانی خاص به بررسی منطقه‌ای می‌پردازد. در الگوی استقرار بیشترین توجه به جغرافیای زیستی و رابطه انسان در مکان‌گزینی و زیست در پهنه جغرافیایی معطوف می‌شود که با توجه به تفاوت وضعیت جغرافیایی هر منطقه نحوه پراکنش استقرارها نیز با هم متفاوت است و جوامع انسانی و جغرافیای طبیعی را از عوامل شکل‌گیری چشم‌انداز معرفی می‌کند (موسوی کوهر و همکاران، ۱۳۹۰: ۱۱۵) با مرور سابقه تحقیق مشخص شد که با وجود غنای فرهنگی دشت سیلاخور و نیز وضعیت مناسب محیطی آن از جمله وجود منابع آب سطحی و زیرزمینی مناسب، ساختار پوشش گیاهی و ارتفاعی مناسب، تاکنون مطالعه هدفمندی و جامعی به‌منظور شناخت نقش شرایط اقلیمی و محیطی در توسعه سکونتگاه‌های انسانی در این دشت حاصلخیز انجام نشده است. لذا هدف این تحقیق بررسی ارتباط مکان‌گزینی و استقرار محوطه‌های باستانی دوره گودین III منطقه مورد مطالعه با عوامل فیزیکی حوضه شامل عوامل هیدرولوژی، اقلیمی و توپوگرافی است.

۲. پیشینه مطالعات باستان‌شناسی در منطقه مورد مطالعه

مطالعات و بررسی‌های باستان‌شناسی در دشت سیلاخور به مطالعات کوتاه در مورگان از لرستان و شهرستان بروجرد شروع شده است و پس از آن اوراتا در سال ۱۹۴۰ میلادی بخش‌هایی از استان لرستان را مورد مطالعه قرار داد که در این مطالعات دشت سیلاخور نیز مورد توجه او قرار گرفت (Stine, 1940: 121). در این راستا لویی واندنبرگ نیز مطالعات باستان‌شناسی خود را در استان لرستان انجام داده و در این حین به دشت سیلاخور نیز توجه داشته است

فصلنامه برنامه‌ریزی و آمایش فضا

(واندنبرگ، ۱۳۷۹: ۱۱۲). کایلر یانگ نیز در مطالعات باستان‌شناسی خود به بروجرد و دشت سیلاخور توجه کرده است (Young, 1967: 21). در سال ۱۳۸۵ نیز احمد پروز تعداد ۲۴۰ محوطه باستانی و تاریخی را در مطالعات خود ثبت کرده است که حدود هشتاد محوطه مربوط به عصر مس و سنگ بوده است (پرویز، ۱۳۸۵: ۱۱۰). گاه‌نگاری دوره گودین به تبعیت از زاگرس مرکزی و به‌ویژه تپه گودین در کنگاور بررسی و تنظیم شده است، بنابراین گاه‌نگاری دوره گودین به این شرح است: دوره گودین XI دوره قدیم مس و سنگ، دوره‌های VIII، XI، X گودین دوره میانی عصر مس و سنگ (۲ تا ۳ هزار سال قبل از میلاد)، دوره‌های VI، VII گودین مربوط به دوره جدید عصر مس و سنگ، دوره گودین V دوره شروع ایلامی، دوره گودین IV مفرغ قدیم، دوره گودین III مفرغ میانی و جدید و دوره‌های گودین II و I عصر آهن است (Dyson, 1960: 24).

عصر مفرغ در ایران، از حدود اوایل هزاره سوم پ.م (۵۰۰۰ سال قبل) آغاز می‌شود و تا اواسط هزاره دوم پ.م ادامه می‌یابد. این دوره پیش از تاریخ در ایران، به جهت برخی از تحولات از جمله: ظهور شهرنشینی، پیدایش خط و نگارش در مناطق جنوب غربی، پیدایش برخی از فناوری‌ها از جمله فناوری ساخت فلز مفرغ و ... دارای اهمیت است (طلائی، ۱۳۸۸: ۱۱۴). در این دوره عناصر محیطی از جمله ویژگی‌های توپوگرافی و فیزیوگرافی محیط، دسترسی به منابع آب به‌ویژه آب‌های سطحی، اقلیم و آب‌وهوای مناسب بدون تنش‌های گرمایی و سرمایی، نقش مهمی در تشکیل و توسعه هسته‌های سکونت‌گاهی داشته‌اند. لذا در این تحقیق اقدام به بررسی ارتباط بین توزیع فضایی سایت‌های باستانی دوران گودین سوم، در دشت دورود - بروجرد در ارتباط با ساختار ویژگی‌های محیطی پرداخته می‌شود. در این زمینه مطالعاتی انجام شده است که می‌توان به موارد زیر اشاره کرد:

مقصودی و همکاران (۱۳۹۱) به مطالعه نقش ساختارهای طبیعی در الگوی استقرار محوطه‌های پیش از تاریخ دشت تهران پرداختند و نتیجه گرفتند که الگوی استقرار بیشتر تحت تأثیر مخروط‌افکنه‌هاست، زیرا هر جا مخروط‌افکنه‌ها گسترده شده‌اند، استقرارگاه‌ها با تمرکز بر آن‌ها به صورت شعاعی شکل گرفته‌اند و هر چه به طرف قسمت‌های بالاتر و کوهستانی حوضه می‌رویم، محوطه‌ها در فواصل نزدیک به رودخانه و به صورت خطی شکل گرفته‌اند و شیب مناسب عامل ایجاد استقرارگاه در این گونه نواحی است. یوسفی زرشک و باقی‌زاده (۱۳۹۱) به مطالعه کاربرد سیستم اطلاعات جغرافیایی در تحلیل الگوی استقرار: مطالعه موردی محوطه‌های دشت درگز در خراسان شمالی از دوره نوسنگی تا پایان عصر آهن IV پرداختند. نتایج این مطالعه نشان داد که تأثیرپذیری از آب‌وخاک و همچنین طیف ارتفاعی مشخصی باعث به‌وجود آمدن الگوی استقرار مشخصی می‌شود. هژبری و همکاران (۱۳۹۶) با تحلیل مؤلفه‌های جغرافیایی و فرهنگی - اجتماعی مؤثر در شکل‌گیری و توسعه محوطه باستانی شهریری به این نتیجه رسیدند که فراهم بودن پنج شاخصه ماده، انرژی، فضا، زمان و تنوع، ملزومات استقرار در این محوطه در عصر مفرغ متأخر را فراهم آورده و در عصر آهن میانی نزدیکی به راه‌های ارتباطی و انباشت ثروت در کنار عوامل پیش‌گفته باعث رونق و اوج محوطه شده است. میرقادری و همکاران (۱۳۹۲) به تحلیل الگوهای استقرار عصر مفرغ میانی و جدید دشت سرفیروزآباد در جنوب کرمانشاه، غرب زاگرس مرکزی پرداختند. نتایج این مطالعه نشان داد که ۲۴ محوطه در دوره مفرغ میانی و جدید

فصلنامه برنامه‌ریزی و آمایش فضا

(فرهنگ گودین ۳) دارای ساکنانی بوده است. پراکنش محوطه‌ها و الگوهای استقراری این دشت، طی این دوره وابستگی به منابع زیست‌محیطی به‌ویژه منابع آب را نشان می‌دهد. مقصودی و همکاران (۱۳۹۳) با بررسی ۲۸۳ زیستگاه از ادوار فرهنگی مختلف نخستین مطالعات الگوی استقراری دشت سیلاخور را به انجام رساندند. این پژوهشگران به بررسی عوامل واحدهای ژئومورفولوژی، ارتفاع سکونتگاه‌ها از سطح دشت و از سطح دریا و منابع آب (رودخانه‌ها و سطح آب‌های زیرزمینی) پرداختند و نتیجه گرفتند که شکل‌گیری زیستگاه‌های باستانی در سه دوره پیش از تاریخ، تاریخی و اسلامی، به دلیل وجود توپوگرافی هموار و منابع آب کافی بوده است. آن‌ها واحد دشت آبرفتی را به دلیل وجود منابع آب، خاک حاصلخیز، ارتفاع و شیب کم، دارای بیشترین تعداد زیستگاه‌ها و مناطق مرتفع کوهستانی را به دلیل محدودیت‌های طبیعی، دارای کم‌ترین تراکم زیستگاه‌های باستانی دانسته‌اند. مقصودی و همکاران (۱۳۹۴) به مطالعه تحلیل نقش عوامل محیطی در مکان‌گزینی سکونتگاه‌های پیش از تاریخ دشت ورامین با استفاده از منطق فازی پرداختند. نتایج این مطالعه نشان داد که این مناطق، بر روی رسوبات آبرفتی دشت قرار گرفته‌اند که از نظر زمین‌شناسی، شرایط مناسب را برای ایجاد سکونتگاه فراهم کرده است. وجود خاک مناسب برای کشاورزی و سفال‌سازی (خصوصاً وجود رسوبات ریزدانه برای سفال‌سازی)، شیب بسیار ملایم، دسترسی مطلوب به آبراهه‌ها، داشتن فاصله مناسب از رأس مخروط‌افکنه و تا حدی مصون بودن از خطر سیلاب و داشتن آب‌وهوای مناسب‌تر نسبت به قسمت‌های جنوبی مخروط‌افکنه، از جمله عواملی است که باعث ایجاد شرایط محیطی مناسب در این مناطق شده است. مقدم و نوری (۱۳۹۶) به مطالعه الگوهای زیستگاهی عصر مفرغ دشت سیلاخور پرداختند. نتایج این مطالعه نشان داد که از میان عوامل جغرافیایی مورد بحث، منابع آب، زمین‌های حاصلخیز، درجه و دامنه شیب زمین، راه‌های باستانی و گسل زلزله، بیشترین تأثیر را بر شیوه پراکنش و مکان‌گزینی زیستگاه‌ها داشته‌اند. حیدری و همکاران (۱۳۹۷) به مطالعه تحلیل الگوی زیستی و مکان‌گزینی محوطه‌های عصر مفرغ دشت کوه‌دشت پرداختند. نتایج این مطالعه نشان داد که دشت کوه‌دشت از دوره پیش از تاریخ تا دوره اسلامی متأخر مورد استفاده جوامع انسانی بوده است و این بررسی‌ها مشخص کرد که از دوره مفرغ قدیم سه محوطه در دوره مفرغ میانی چهار محوطه و در دوره مفرغ متأخر دوازده محوطه وجود داشته است. در این تحلیل نشان داده شد که دوری و نزدیکی به آب، خاک مناسب، نزدیکی به راه‌ها از دلایل شکل‌گیری استقرارگاه‌ها در این دشت است. وابستگی به سه ویژگی مهم یعنی آب، خاک مناسب برای کشاورزی و دامپروری و راه‌های ارتباطی از مهم‌ترین دلایلی است که الگوهای استقراری این منطقه را تحت تأثیر قرار می‌دهد. مقصودی و همکاران (۱۳۹۸) به مطالعه تأثیر عوامل محیطی در مکان‌گزینی استقرارگاه‌های باستانی در اطراف کهن دریاچه‌های شمالی دشت کویر (پلیستوسن) پرداختند. نتایج این مطالعه نشان داد که پراکنش استقرارگاه‌های باستانی از یک الگوی پراکنش خطی و ارتفاعی تبعیت می‌کنند. منادی و همکاران (۱۴۰۰) به مطالعه تحلیل الگوهای استقراری عصر مس و سنگ در دشت سیلاخور با استفاده از تحلیل‌های GIS پرداختند. نتایج این مطالعه نشان داد که استقرارگاه‌های این دوره وابسته به منابع آبی (رودخانه‌ها) شکل گرفته‌اند. تحلیل فضایی مبتنی بر GIS سکونت‌گاه‌های باستانی در دشت سبیری

فصلنامه برنامه‌ریزی و آمایش فضا

غربی در تحقیق نیکولینا^۱ (2019)، بیانگر آن بود که تغییرات دوره‌های خشک و مرطوب یا تناوب اقلیم خشک و مرطوب در این دشت، جابه‌جایی و دینامیک سکونتگاه‌های باستان را در پی داشته است. در تحقیق ژاکوبسون^۲ و همکاران (2022)، که تأثیر گذاری‌های تغییرات اقلیمی و محیطی بر روی دینامیک منطقه‌ای سکونتگاه‌های باستانی جنوب غرب آناتولی را مورد بررسی قرار داده بودند، دیده شد که افزایش بارش در قرن‌های ۴ تا ۶ ق.م، تأثیر چشمگیری در جابه‌جایی و یا افزایش و کاهش سکونتگاه‌های باستانی این منطقه نداشته است، در حالی که عوامل مخاطره‌آمیز و تهدیدات اقلیمی و محیطی از قبیل طوفان‌ها، خشکسالی، بیماری‌های عفونی محیطی، به صورت قابل توجهی دینامیک فضایی و نیز افزایش و کاهش سکونت‌گاه‌های باستانی را در پی داشته است.

بررسی‌های صورت گرفته نشان می‌دهد تا کنون غالب تحقیقات جهت تحلیل وضعیت سکونتی و استقراری عصر مس و سنگ دشت سیلاخور انجام متمرکز شده‌اند و نقش اقلیم و عوامل فیزیوگرافی حوضه در توسعه سکونت‌گاه‌ها مدنظر قرار نگرفته است. لذا در این تحقیق هدف اصلی آشکارسازی ارتباط بین توسعه سکونت‌گاه‌های دشت سیلاخور در ارتباط با شرایط اقلیمی و فیزیوگرافی منطقه در دوره گودین III است.

۳. منطقه مورد مطالعه

دشت سیلاخور یکی از بزرگ‌ترین زمین‌های هموار استان لرستان با طول ۷۰ کیلومتر و عرض ۱۲ کیلومتر در امتداد شرقی دره نه‌اوند و کنگاور واقع شده، و در حاشیه شمالی و شرقی اشترانکوه و گرین مابین شهرستان‌های بروجرد و دورود جای گرفته است. ویژگی‌های زیست محیطی مناسب (خاک و زمین مرغوب، منابع آبی و...) این دشت زمینه‌های اسکان انسان را از پیش از تاریخ تاکنون فراهم کرده است (شکل ۱). این دشت از دشت‌های میان‌کوهی منطقه زاگرس مرکزی بوده که در ارتفاع متوسط ۱۵۰۰ از سطح دریا قرار دارد و در حال حاضر یکی از چهارراه‌های مواصلاتی شرق به غرب و شمال به جنوب کشور است که در گذشته نیز از این توانمندی بهره‌مند بوده است و به همین سبب می‌توان گفت زیستگاه‌های دشت سیلاخور به نوعی در مرکز یک چهارراه مواصلاتی فرهنگی - تجاری قرار داشته که این توانمندی مهم، در تعاملات فرهنگی و اقتصادی زیستگاه‌ها، شیوه توزیع و پراکنش آن‌ها در سطح دشت و الگوی استقراری آن‌ها مؤثر بوده است.

1. Nikulina
2. Jacobson

شکل ۱. نقشه موقعیت منطقه مورد مطالعه (الف و ب)، نقشه رقومی ارتفاع (ج)

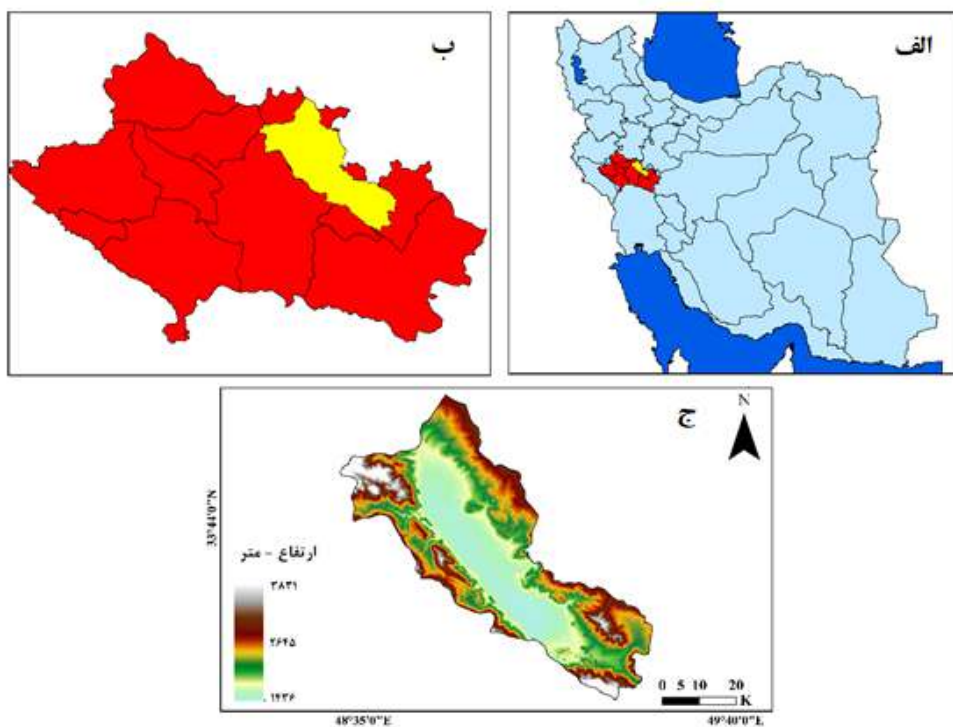


Figure 1. Location map of the study area (A and B), Digital Elevation Map of the study area (J)

۴. داده‌های مورد استفاده

داده‌های مورد استفاده در این تحقیق در جدول ۱ ارائه و از چهار دسته اصلی داده استفاده شده است. مؤلفه‌های هیدرولوژیک شامل رودخانه‌ها و شاخه‌ها، چشمه‌های دائم و موقت، سراب‌ها و قنات و در نهایت سطوح آب زیرزمینی در سطح محدوده است. این داده‌ها از لایه مربوط به منابع آب دشت سیلاخور، از شرکت مدیریت منابع آب ایران، دفتر مطالعات پایه منابع آب (<https://data.wrm.ir>)، اخذ شده است. دسته دوم داده‌ها مربوط به مؤلفه‌های اقلیم‌شناختی محدوده و شامل دو فاکتور بیوکلیمایی: مجموع بارش سالانه و وضعیت پوشش گیاهی منطقه در بازه زمانی بیست ساله (از ۲۰۰۰ تا ۲۰۲۰) است. لایه پوشش گیاهی محدوده از محصول پوشش گیاهی سنجنده MODIS یعنی محصول MOD13A3 برای میانگین ماه‌های آوریل تا جولای، اخذ شد. از طرف دیگر لایه میانگین مجموع بارش سالانه نیز از پایگاه اقلیمی Worldclim با رزولوشن فضایی ۳۰ ثانیه قوسی اخذ شد (<https://www.worldclim.org>). دسته سوم از داده‌های مورد استفاده مربوط به ویژگی‌های مورفولوژیکی منطقه مورد مطالعه شامل وضعیت سایت‌های باستان‌شناسی نسبت به ساختار شیب و ارتفاع که از مدل ارتفاع رقومی سنجنده ASTER اخذ می‌شود. در نهایت موقعیت سایت‌های باستان‌شناسی موجود در دشت سیلاخور که مربوط به دوره گودین سوم بود، از پژوهشکده باستان‌شناسی

فصلنامه برنامه‌ریزی و آمایش فضا

کشور اخذ شد. تعداد ۵۵ سایت باستانی مربوط به دوره گودین سوم در محدوده دشت سیلانخور مورد بررسی قرار گرفت.

جدول ۱. داده های تحقیق

| عامل | مؤلفه های اصلی | زیرشاخه ها |
|----------------------------------|----------------------------------|--|
| فیزیوگرافی حوضه | مؤلفه های هیدرولوژیک | رودخانه ها و شاخه ها |
| | | چشمه ها |
| | | سراب ها، قنوت |
| | | سطح آب های زیرزمینی |
| مؤلفه های اقلیم شناختی | مؤلفه های اقلیم شناختی | مجموع بارش سالانه |
| | | دسترسی به پوشش گیاهی |
| | | ساختار شیب |
| مؤلفه های ناهمواری یا مورفولوژیک | مؤلفه های ناهمواری یا مورفولوژیک | ساختار ارتفاعی |
| | | موقعیت سایت ها و تپه های باستانی |
| باستان شناسی | داده های باستان شناسی | موقعیت سایت ها و تپه های باستانی دوره گودین |

Table 1. Research data

در جدول ۲ مشخصات سایت های باستانی مورد مطالعه آورده شده است.

جدول ۲. مشخصات سایت های باستانی مورد مطالعه

| PERIOD | Y | X | ERTMAH | AREA(HEK) | H | SAHAR | NAME | ROW |
|---------|-------|-------|--------|-----------|------|-------|----------------------|-----|
| GIII | 33.73 | 48.86 | 1.5 | 0.0225 | 1503 | دورود | تپه عربان ۳ | ۱ |
| GIII2 | 33.74 | 48.85 | 3.2 | 0.455 | 1505 | دورود | تپه دره سر (۲) | ۲ |
| GIII2 | 33.74 | 48.85 | 6 | 0.33 | 1510 | دورود | تپه دره سر (۳) | ۳ |
| GIII2 | 33.74 | 48.85 | 2.5 | 0.81 | 1524 | دورود | تپه دره سر (۱) | ۴ |
| GIII4 | 33.58 | 49.25 | 15 | 1.36 | 2106 | دورود | تپه احمد مرده (۱) | ۵ |
| GIII | 33.56 | 49.23 | 4 | 0.4875 | 2067 | دورود | تپه داربلوط (۲) | ۶ |
| GIII | 33.57 | 49.18 | 10 | 0.7 | 1693 | دورود | تپه بیدسا | ۷ |
| GIII2 | 33.65 | 48.88 | 8.5 | 0.89 | 1486 | دورود | تپه پهلوان کل | ۸ |
| GIII2,6 | 33.68 | 48.84 | 10 | 1.778 | 1479 | دورود | تپه میدان | ۹ |
| GIII2 | 33.67 | 48.86 | 5 | 0.9919 | 1483 | دورود | تپه باباشمان | ۱۰ |

فصلنامه برنامه ریزی و آمایش فضا

| | | | | | | | | |
|-----------|-------|-------|------|--------|------|--------|---------------------------------|----|
| GIII2 | 33.67 | 48.86 | 12.5 | 0.92 | 1489 | دورود | تپه بردگلو | ۱۱ |
| GIII2 | 33.59 | 48.93 | 2.5 | 0.4429 | 1553 | دورود | تپه چل چلکو | ۱۲ |
| GIII2 | 33.69 | 48.95 | 10 | 0.511 | 1600 | دورود | تپه مالک | ۱۳ |
| GIII2 | 33.69 | 48.95 | 2.5 | 0.369 | 1600 | دورود | تپه کوره محراب ۲ | ۱۴ |
| GIII2 | 33.55 | 49.13 | 3 | 0.85 | 1550 | دورود | تپه مزارستان کهنه | ۱۵ |
| GIII2 | 33.47 | 49.07 | 30 | 2.175 | 1477 | دورود | پاتپه دورود | ۱۶ |
| GIII2,6 | 33.61 | 48.93 | 10 | 0.18 | 1504 | دورود | تپه ازنا | ۱۷ |
| GIII2,6 | 33.59 | 48.98 | 15 | 1.875 | 1479 | دورود | تپه لبان | ۱۸ |
| GIII2 | 33.58 | 49.03 | 3 | 3.515 | 1510 | دورود | تپه تنوردر (هفت امامزاده) | ۱۹ |
| GIII2 | 33.53 | 49.06 | 16 | 2.145 | 1491 | دورود | تپه کامحمد رضا | ۲۰ |
| GIII | 33.52 | 49.08 | 19 | 1.5 | 1503 | دورود | تپه دهنو | ۲۱ |
| GIII2,4 | 33.53 | 49.10 | 21 | 1.96 | 1524 | دورود | تپه پیرآباد | ۲۲ |
| GIII2 | 33.51 | 49.01 | 4 | 0.0448 | 1685 | دورود | تپه بابا شاه | ۲۳ |
| GIII2,6 | 33.56 | 48.98 | 7 | 0 | 1510 | دورود | تپه روستای گوشه پل | ۲۴ |
| GIII2 | 33.56 | 49.01 | 3.5 | 0.765 | 1493 | دورود | تپه میرباغی | ۲۵ |
| GIII2 | 33.59 | 49.00 | 3 | 1.05 | 1494 | دورود | تپه نباتی شکرآباد | ۲۶ |
| GIII6 | 33.56 | 49.03 | 2 | 0.6806 | 1502 | دورود | تپه ساکی | ۲۷ |
| GIII | 33.64 | 48.94 | 4 | 0.1371 | 1484 | دورود | تپه روباه | ۲۸ |
| GIII2 | 33.56 | 49.06 | 3 | 0.4958 | 1463 | دورود | تپه تل کو(دختربرجی) | ۲۹ |
| GIII2,6 | 33.53 | 49.01 | 17 | 1.2 | 1517 | دورود | تپه سیاهکله | ۳۰ |
| GIII6-5,2 | 33.74 | 48.80 | 16 | 2.24 | 1534 | بروجرد | تپه بز ازنا | ۳۱ |
| GIII5,6,2 | 33.93 | 48.80 | 12 | 0.96 | 1816 | بروجرد | تپه استخر آهکی | ۳۲ |
| GIII5,6,2 | 34.01 | 48.65 | 5 | 0.69 | 1818 | بروجرد | تپه سر رودخانه | ۳۳ |
| GIII5,6 | 33.94 | 48.72 | 5 | 0.34 | 1665 | بروجرد | تپه فنی و حرفه ای ۱ | ۳۴ |

فصلنامه برنامه ریزی و آمایش فضا

| | | | | | | | | |
|---------|-------|-------|------|------|------|--------|---------------------|----|
| GIII5,6 | 33.94 | 48.73 | 10 | 0.32 | 1678 | بروجرد | تپه فنی و حرفه‌ای ۲ | ۳۵ |
| GIII4,2 | 33.81 | 48.73 | 8 | 0.35 | 1518 | بروجرد | تپه کیوره | ۳۶ |
| GIII2,6 | 33.82 | 48.79 | 15 | 1.36 | 1520 | بروجرد | تپه طنجور | ۳۷ |
| GIII2,6 | 33.87 | 48.75 | 23 | 2.47 | 1568 | بروجرد | تپه رومیان | ۳۸ |
| GIII2,6 | 33.96 | 48.95 | 34 | 1.5 | 2034 | بروجرد | تپه کله | ۳۹ |
| GIII2 | 33.72 | 48.88 | 17 | 3.45 | 1519 | بروجرد | ولیان ۱ | ۴۰ |
| GIII2 | 33.72 | 48.90 | 11 | 1.17 | 1533 | بروجرد | تپه قرق | ۴۱ |
| GIII2 | 33.75 | 48.85 | 10 | 1.36 | 1515 | بروجرد | تپه سفیدکن ۱ | ۴۲ |
| GIII2 | 33.77 | 48.83 | 3.75 | 1 | 1503 | بروجرد | تپه قره سو | ۴۳ |
| GIII2 | 33.71 | 48.82 | 14 | 2.47 | 1510 | بروجرد | تپه سین آباد | ۴۴ |
| GIII2 | 33.71 | 48.82 | 2 | 0.1 | 1504 | بروجرد | تپه ارمنی سین آباد | ۴۵ |
| GIII2 | 33.76 | 48.78 | 10 | 1.73 | 1530 | بروجرد | تپه گنجینه ۱ | ۴۶ |
| GIII2 | 33.76 | 48.77 | 2.5 | 1.66 | 1511 | بروجرد | تپه روغنی | ۴۷ |
| GIII2 | 33.78 | 48.80 | 9 | 1.2 | 1510 | بروجرد | تپه رحیم آباد | ۴۸ |
| GIII2 | 33.80 | 48.81 | 7 | 1.1 | 1514 | بروجرد | تپه اسدخانی | ۴۹ |
| GIII2 | 33.84 | 48.81 | 5 | 0.63 | 1561 | بروجرد | تپه زنگنه ۱ | ۵۰ |
| GIII2 | 33.80 | 48.77 | 12 | 0.96 | 1500 | بروجرد | تپه کیدان | ۵۱ |
| GIII | 33.72 | 48.88 | 5.7 | 3 | 1508 | بروجرد | ولیان ۴ | ۵۲ |
| GIII | 33.75 | 48.85 | 1 | 0.19 | 1504 | بروجرد | تپه سفیدکن ۶ | ۵۳ |
| GIII | 33.76 | 48.84 | 3 | 1.04 | 1479 | بروجرد | تپه بهروز | ۵۴ |
| GIII | 33.72 | 48.82 | 2 | 0.48 | 1508 | بروجرد | تپه پشگل دان | ۵۵ |

۵. روش تحقیق

در این تحقیق برای آشکارسازی الگوی توزیع فضایی سایت‌های باستانی دوره گودین III در سطح دشت سیلاخور، از مدل آمار فضایی خودهم‌بستگی فضایی I، MORAN، استفاده شد. این شاخص برای آشکارسازی ساختار توزیع فضایی پدیده‌ها در سطح فضا مورد استفاده قرار می‌گیرد (Fang, 2016):

رابطه (۱) ضریب خودهم‌بستگی فضایی موران

$$I = \frac{n}{s_0} \times \frac{\sum_{i=1}^n \sum_{j=1}^n W_{ij} (X_i - \bar{X})(X_j - \bar{X})}{\sum_{i=1}^n (X_i - \bar{X})^2}$$

X_i و X_j مقادیر متغیر در مکان‌های i و j ، \bar{X} میانگین ویژگی هر ایستگاه، W_{ij} مقدار وزن فضایی عارضه‌های i و j و s_0 مجموع تمام عناصر را نشان می‌دهند. دامنه تغییرات شاخص موران جهانی بین -۱ تا +۱ است. در صورتی که مقادیر موران معنی‌دار و بزرگ‌تر از صفر باشد، هم‌بستگی فضایی مثبت و خوشه‌ای است؛ در غیر این صورت

فصلنامه برنامه‌ریزی و آمایش فضا

همبستگی فضایی منفی و به صورت پراکنده است. زمانی که $Z(I)$ صفر است، مبین الگوی تصادفی در ارزش مشاهدات است. ۱ به معنی توزیع خوشه‌ای، ۱- به معنی توزیع پراکنده مشاهدات در سطح مورد بررسی است (Wang et al., 2016). در این پژوهش داده‌های مربوط به مؤلفه‌های اقلیمی (بارش) ایستگاه‌های هواشناسی درود و بروجرد از سازمان هواشناسی (آدرس سایت) جمع‌آوری و در بازه زمانی مشترک ۱۹۹۰ تا ۲۰۲۰ به صورت میانگین سالانه میانگین‌گیری شد. از داده‌های شبکه‌بندی شده پایگاه World Clime با قدرت تفکیک یک کیلومتر برای تدقیق پهنه‌بندی فاکتورهای اقلیمی بارش استفاده شد. عوامل توپوگرافیک از قبیل ارتفاع و شیب محدوده با استفاده از مدل ارتفاع رقومی سنجنده ASTER با قدرت تفکیک ۳۰ متر تهیه شد. از طرف دیگر، لایه طبقات پوشش اراضی حوضه، از محصول کامپوزیت سنجنش از دوری MCD12Q1 سنجنده MODIS استخراج شد. سپس موقعیت سایت‌های باستانی در ارتباط با هر کدام از مؤلفه‌های محیطی با استفاده از تحلیل ماتریس متقاطع ۱ (CTM) در محیط نرم‌افزار ArcGIS10.3 مورد بررسی قرار گرفت.

۶. یافته‌ها

نتایج حاصل از اجرای مدل خودهمبستگی فضایی موران عمومی^۲ در سطح اطمینان ۰/۹۵ ($P_value=0.05$) روی توزیع فضایی تعداد ۵۵ سایت باستانی دوره گودین III در سطح شت سیلاخور نشان داد که توزیع فضایی سایت‌های باستانی در سطح دشت مذکور به هیچ وجه تصادفی یا پراکنده نبوده است و به صورت معنی‌داری از یک توزیع خوشه‌ای خطی تبعیت می‌کند (شکل ۲). لذا براساس این الگوی خوشه‌ای در ادامه ارتباط بین توزیع فضایی این سایت‌ها و عوامل محیطی دشت سیلاخور آشکارسازی و تحلیل می‌شود.

شکل ۲. مدل خودهمبستگی فضایی موران عمومی روی توزیع فضایی سایت‌های باستانی دوره گودین III در سطح دشت سیلاخور

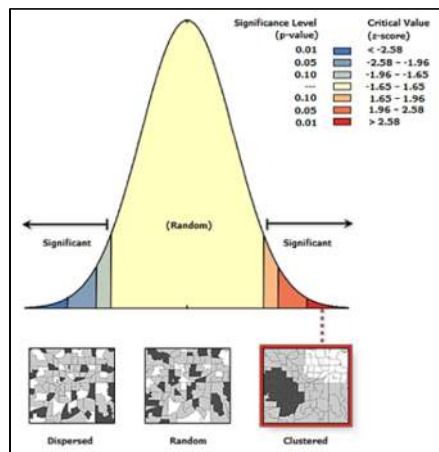


Figure 2. General Moran's spatial autocorrelation model on the spatial distribution of ancient sites of the Godin III period in the Silakhor plain.

1. Cross Tabulated Matrix
2. Global Moran

فصلنامه برنامه‌ریزی و آمایش فضا

نتایج حاصل از بررسی توزیع فراوانی سایت‌های دوران گودین III در دشت سیلاخور، بیانگر آن است که ۵۵ سایت باستانی عموماً به صورت تپه‌های باستانی و تحلیل ارتفاعی این سایت‌ها (شکل ۲) نشان می‌دهد که حدود ۷۰ درصد از سایت‌های مورد مطالعه در تراز ارتفاعی کف یعنی کم‌تر از ۱۵۰۰ متر قرار گرفته‌اند و مابقی سایت‌ها در تراز ارتفاعی ۱۵۰۰ تا ۲۰۰۰ متر دشت واقع شده‌اند.

شکل ۳. توزیع فضایی سایت‌های باستانی گودین III در ترازهای ارتفاعی دشت سیلاخور

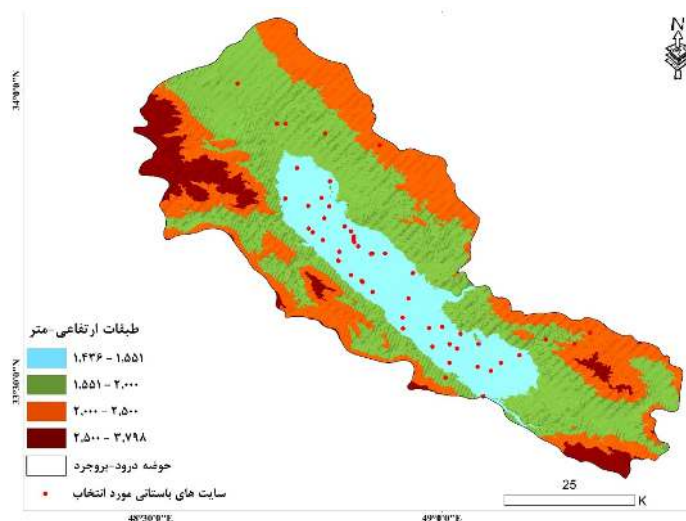


Figure 3. Spatial distribution of Godin III ancient sites in the elevation levels of Silakhor Plain

همانطور که شکل ۴ دیده می‌شود، یک نوع هم‌بستگی یا ارتباط منفی در توزیع فضایی سایت‌های دوره گودین III در ترازهای ارتفاعی دیده می‌شود. این ارتباط می‌تواند به نوعی بیانگر عدم وجود مخاطرات تهدیدکننده مانند دشمن خارجی یا به نوعی بیانگر، فراهم بودن شرایط محیطی مساعد در سطح دشت و محدودیت آن در ترازهای ارتفاعی بالا باشد.

جدول ۳. توزیع تعداد سایت‌های باستانی دوره گودین III در دشت سیلاخور در ترازهای ارتفاعی دشت

| درصد توزیع | تعداد سایت‌های موجود | طبقه ارتفاعی |
|------------|----------------------|--------------|
| 0.69 | 38 | < 1500 |
| 0.25 | 14 | 1500-2000 |
| 0.05 | 3 | 2000-2500 |
| 0.00 | 0 | > 2500 |

Table 3. Distribution of the number of ancient sites of the Godin III period in the Silakhor plain in the elevation levels of the plain

فصلنامه برنامه‌ریزی و آمایش فضا

شکل ۴. توزیع تعداد سایت‌های باستانی دوره گودین III در دشت سیلاخور در ترازهای ارتفاعی دشت

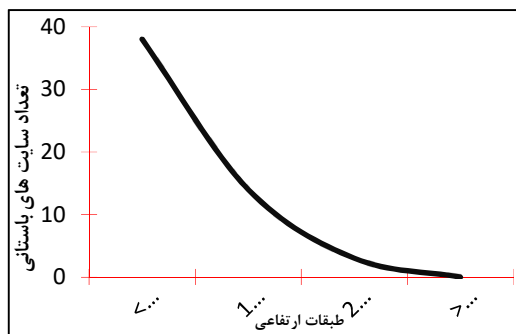


Figure 4. The distribution of the number of ancient sites of the Godin III period in the Silakhor Plain in the elevation levels of the plain.

الگوی توزیع فضایی سایت‌های باستانی دوره گودین III در سطح دشت سیلاخور در ارتباط با ساختار شیب سطح دشت در شکل ۵ ارائه شده است. ساختار شیب یکی از فاکتورهای فیزیوگرافیکی محدودکننده برای توسعه سکونتگاه‌های انسانی است. در دامنه‌های با شیب بالا توسعه سکونتگاه‌های باستانی همواره با مخاطرات مورفولوژیکی از قبیل حرکات توده‌ای (لغزش زمین، رانش زمین، خزش) یا ایجاد رواناب‌های شدید سطحی همراه است. همانطور که دیده می‌شود، حدود ۹۰ درصد از سایت‌های باستانی مورد بررسی در سطح دشت در طبقات شیب کم‌تر از ۵ درجه توزیع شده‌اند. با توجه به این‌که در بستر دشت یعنی طبقه شیب کم‌تر از ۵ درجه، شبکه رودخانه اصلی دشت یعنی رودخانه سیلاخور قرار گرفته است، لذا به نظر می‌رسد دسترسی به این شبکه منبع آب اصلی دشت، به این الگوی توزیع فضایی سایت‌های این دوره در سطح دشت منجر شده است.

شکل ۵. توزیع فضایی سایت‌های باستانی دوره گودین III در سطوح شیب دشت سیلاخور

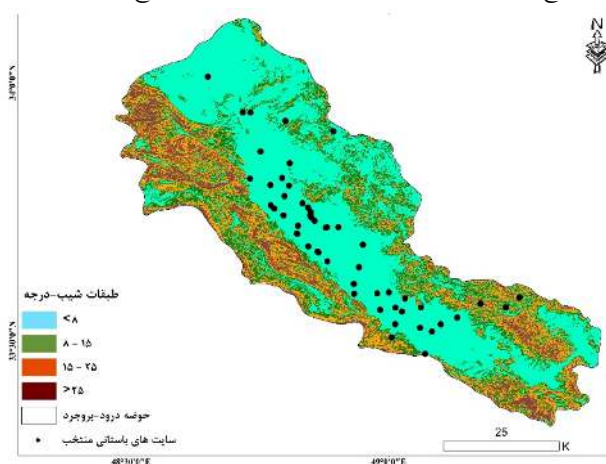


Figure 5. Spatial distribution of ancient sites of the Godin III period on the slopes of the Silakhor Plain

جدول ۴. توزیع تعداد سایت‌های باستانی دوره گودین III در سطوح شیب دشت سیلاخور

| طبقه شیب | تعداد سایت‌های موجود | درصد توزیع |
|----------|----------------------|------------|
| < ۸ | ۴۹ | ۹۰ |
| ۸-۱۵ | ۶ | ۱۰ |
| ۱۵-۲۵ | ۰ | ۰ |
| > ۲۵ | ۰ | ۰ |

Table 4. Distribution of the number of ancient sites of the Godin III period on the slopes of the Silakhor Plain

شکل ۶. توزیع تعداد سایت‌های باستانی دوره گودین III در سطوح شیب دشت سیلاخور

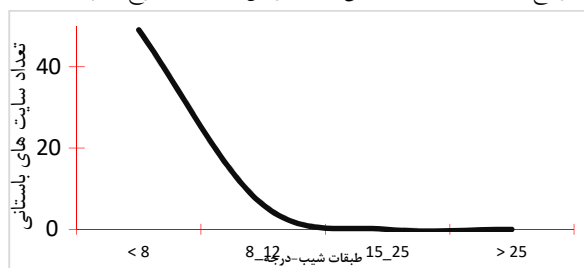


Figure 6. Distribution of the number of ancient sites of the Godin III period on the slopes of Silakhor Plain. The graph shows a high concentration of sites in the < 8 slope category, with a rapid decrease as slope steepness increases. The y-axis is labeled 'تعداد سایت‌های باستانی' and the x-axis is labeled 'طبقات شیب-درجه'.

شکل ۷. توزیع فضایی سایت‌های باستانی دوره گودین III در طبقات مختلف پوشش اراضی دشت سیلاخور

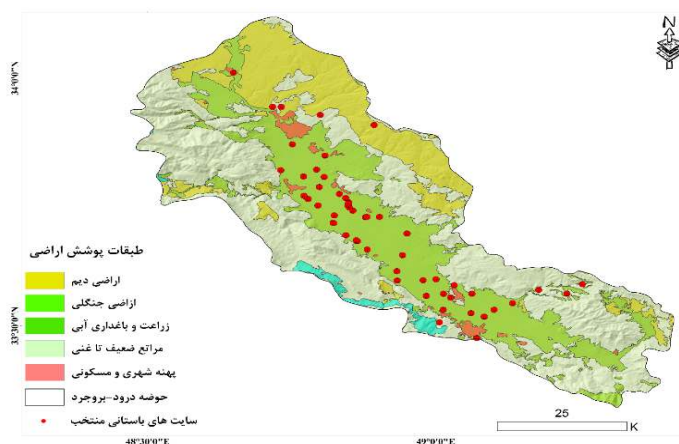


Figure 7. Spatial distribution of ancient sites of Godin III period in different land cover classes of Silakhor plain

فصلنامه برنامه‌ریزی و آمایش فضا

ماتریس توزیع فضایی سایت‌های دوره گودین III در سطح طبقات پوشش اراضی دشت سیلاخور بیانگر آن است که بالاترین تراکم سایت‌های باستانی این دوره در پهنه باغات و اراضی زراعی آبی سطح دشت که متراکم‌ترین پوشش گیاهی سطح دشت را دارد توزیع شده است. در سطح مراتع دشت نیز که عموماً در تراز ارتفاعی بالاتری قرار دارند، چهار تپه باستانی توزیع شده است.

جدول ۵. توزیع تعداد سایت‌های باستانی دوره گودین III در سطوح طبقات پوشش اراضی دشت سیلاخور

| طبقه پوشش اراضی | تعداد سایت‌های موجود | درصد توزیع |
|-------------------------|----------------------|------------|
| اراضی کشت دیم | ۲ | ۰/۰۴ |
| باغات و اراضی زراعی آبی | ۴۸ | ۰/۸۷ |
| مراتع | ۴ | ۰/۰۷ |
| اراضی جنگلی | ۰ | ۰ |
| اراضی شهری | ۱ | ۰/۰۲ |

Table 5. Distribution of the number of ancient sites of the Godin III period in the levels of land cover classes of the Silakhor Plain

شکل ۸. توزیع تعداد سایت‌های باستانی دوره گودین III در سطوح طبقات پوشش اراضی دشت سیلاخور

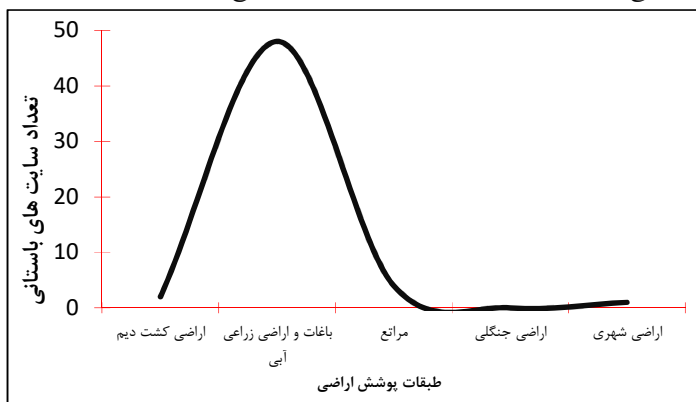


Figure 8. Distribution of the number of ancient sites of the Godin III period in the levels of land cover classes of the Silakhor Plain

اما برای بررسی دقیق تر ارتباط بین ساختار پوشش گیاهی سطح دشت سیلاخور و توزیع فضایی سایت‌های باستانی دوره گودین III از محصول سنجش از دوری پوشش گیاهی MOD13Q1 سنجنده MODIS استفاده شد. همانطور که در شکل ۹ دیده می‌شود، سایت‌های باستانی دوره گودین III عموماً در موقعیت‌های با پوشش گیاهی غنی ($NDVI > 0.4$) که بیانگر مراتع و پوشش‌های نسبتاً متراکم است، توزیع شده‌اند.

فصلنامه برنامه‌ریزی و آمایش فضا

شکل ۹. توزیع فضایی سایت‌های باستانی دوره گودین III در اشکوب‌های مختلف پوشش گیاهی دشت سیلاخور

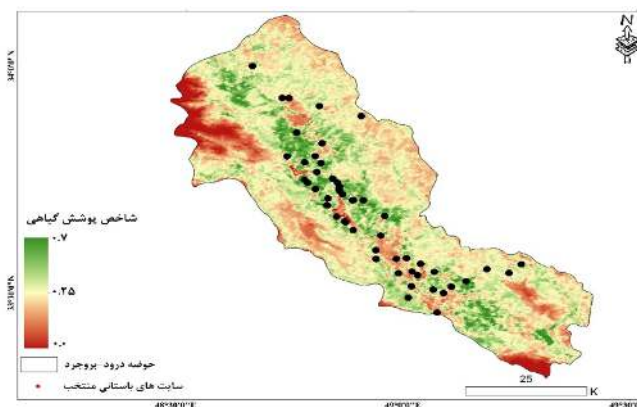


Figure 9. Spatial distribution of ancient sites of the Godin III period in different vegetation layers of the Silakhor Plain
بارش به‌عنوان یکی از مهم‌ترین المان‌های محیطی تعیین‌کننده توزیع فضایی پوشش گیاهی و نیز وجود منابع آب در سطح دشت است. توزیع فضایی بارش در سطح دشت سیلاخور براساس داده‌های ۱ کیلومتری بازتحلیل شده پایگاه Worldclime، بیانگر آن بود که پهنه‌های مرکزی دشت، جایی که محل تراکم و تمرکز بیشترین سایت‌های دوره گودین III است، بالاترین میزان بارش (بین ۳۲۰ تا ۳۴۰ میلی‌متر در سال) را دارد. این میزان بارش در سال، با توجه به اقلیم مدیترانه‌ای دشت سیلاخور، عموماً در دوره سرد سال یعنی ماه‌های اکتبر تا آوریل توزیع شده است.

شکل ۱۰. توزیع فضایی سایت‌های باستانی دوره گودین III در پهنه‌های بارشی مختلف دشت سیلاخور

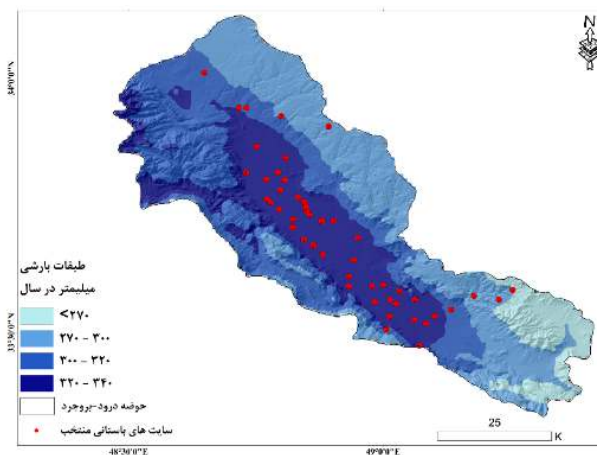


Figure 10. Spatial distribution of ancient sites of Godin III period in different rainfall zones of Silakhor plain
برخلاف فاکتورهای فیزیوگرافیکی و مورفولوژیکی، توزیع فضایی سایت‌های باستانی دوره گودین III در سطح دشت ارتباط مستقیمی با توزیع فضایی بارش در سطح دشت دارد. و تقریباً از ۵۵ سایت مورد بررسی تعداد ۵۱ سایت در پهنه‌های با بارش بیشتر از ۳۰۰ میلی‌متر در سال توزیع شده است. این مقدار بارش برای تولید میزان پوشش گیاهی و مراتع متوسط تا غنی مناسب است.

فصلنامه برنامهریزی و آمایش فضا

جدول ۶. توزیع تعداد سایت‌های باستانی دوره گودین III در پهنه‌های بارشی دشت سیلاخور

| درصد توزیع | تعداد سایت‌های موجود | طبقه بارشی - میلی‌متر در سال |
|------------|----------------------|------------------------------|
| 0.00 | 0 | < 270 |
| 0.07 | 4 | 270 - 300 |
| 0.15 | 8 | 300 - 320 |
| 0.78 | 43 | > 320 |

Table 6. Distribution of the number of ancient sites of the Godin III period in the rainy areas of the Silakhor Plain

شکل ۱۱. توزیع تعداد سایت‌های باستانی دوره گودین III در پهنه‌های بارشی سطح دشت سیلاخور

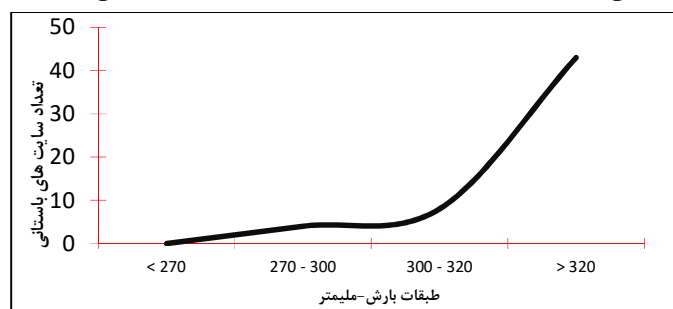


Figure 11. Distribution of the number of ancient sites of the Godin III period in the rainy areas of the Silakhor Plain

منابع آب از مهمترین المان‌های محیطی شکل دهنده و توسعه دهنده سکونتگاه‌های انسانی بوده و هستند. توزیع فضایی سایت‌های باستانی دوره گودین III نسبت به شبکه‌های آبراه‌های سطحی سطح دشت بیانگر آن بود که به صورت معنی دار سایت‌های باستانی مورد مطالعه در نزدیکی شبکه‌های رودخانه‌های دائمی به ویژه رودخانه سیلاخور که رودخانه اصلی و دائمی دشت سیلاخور است شکل گرفته است.

شکل ۱۲. توزیع فضایی سایت‌های باستانی دوره گودین III در ارتباط با شبکه‌های منابع آب سطحی دشت سیلاخور



Figure 12. Spatial distribution of the ancient sites of the Godin III period in relation to the surface water resource networks of the Silakhor plain

فصلنامه برنامه‌ریزی و آمایش فضا

تحلیل ماتریس فاصله بین سایت‌های باستانی دوره گودین III و شبکه‌های رودخانه‌های دائمی بیانگر آن است که تقریباً ۵۰ درصد از سایت‌های مورد مطالعه در فاصله کم‌تر از ۳۰۰ متری از شبکه‌های رودخانه‌ها قرار گرفته‌اند. دسترسی به منابع آب یکی از مهم‌ترین فاکتورهای شکل‌دهنده به ساختار توزیع فضایی سایت‌های باستانی مورد مطالعه در سطح دشت سیلاخور داشته است، به نحوی که ۹۰ درصد از سایت‌های این دوره، در فاصله کم‌تر از ۱ کیلومتری از رودخانه دائمی در سطح دشت قرار گرفته است

جدول ۷. توزیع تعداد سایت‌های باستانی دوره گودین III در ارتباط با شبکه‌های منابع آب سطحی دشت سیلاخور

| فاصله از منابع آب-متر | تعداد سایت‌های موجود | درصد توزیع |
|-----------------------|----------------------|------------|
| < 300 | 27 | 0.49 |
| 300 - 500 | 7 | 0.13 |
| 500 - 800 | 6 | 0.11 |
| 800 - 1200 | 9 | 0.16 |
| > 1200 | 6 | 0.11 |

Table 7. Distribution of the number of ancient sites of the Godin III period in relation to the surface water resources networks of the Silakhor Plain

شکل ۱۳. توزیع تعداد سایت‌های باستانی دوره گودین III در ارتباط با شبکه‌های منابع آب سطحی دشت سیلاخور

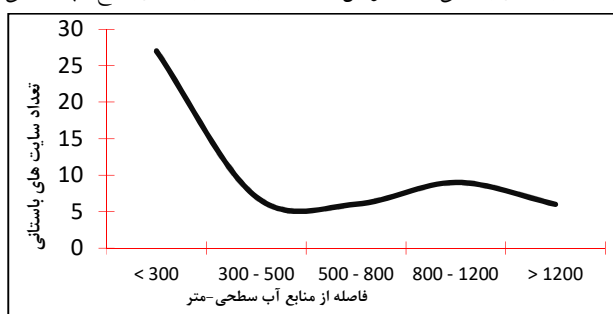


Figure 13. Distribution of the number of ancient sites of the Godin III period in relation to the surface water resource networks of Silakhor plain

در جدول ۸ ماتریس هم‌بستگی بین توزیع فضایی سایت‌های باستانی دوره گودین III در ارتباط با عوامل محیطی در سطح اطمینان ۰/۹۵ ($P_value=0.05$) در سطح دشت سیلاخور ارائه شده است. همانطور که در این ماتریس هم‌بستگی دیده می‌شود، دو فاکتور بارش و به‌تبع آن پوشش گیاهی ارتباط مستقیمی با توزیع فراوانی سایت‌های باستانی دارند. هم‌بستگی بین اشکوب‌های پوشش گیاهی با توزیع فراوانی سایت‌های باستانی برابر ۰/۷۵ بوده که در سطح اطمینان ۰/۹۵ ($P_value=0.05$) معنی‌دار بوده است. از طرف دیگر، دسترسی به منابع آب سطحی (شبکه‌های رودخانه‌های دائمی) نقش اساسی و بسیار حائز اهمیت در توزیع فضایی سایت‌های باستانی مورد مطالعه در سطح دشت ایفا کرده‌اند، به‌طوری که در فواصل بیشتر از ۱ کیلومتر از رودخانه‌های اصلی دشت به‌ویژه رودخانه سیلاخور، تنها ۶ سایت باستانی

فصلنامه برنامه‌ریزی و آمایش فضا

دیده می‌شود و ۴۹ سایت باستانی دوره گودین III در فواصل کم‌تر از ۱ کیلومتر از شبکه‌های رودخانه‌های دائمی دشت به‌ویژه رودخانه سیلاخور قرار گرفته‌اند. این سه عامل یعنی بارش، پوشش گیاهی و منابع آب سطحی، که در واقع سه عامل مشابه و وابسته به هم هستند، الگوی توزیع فضایی متراکم و خطی سایت‌های باستانی دوره گودین III را در پایین‌ترین تراز ارتفاعی دشت (ارتفاع کم‌تر از ۱۵۰۰ متر) را ایجاد کرده است. از طرف دیگر دو عامل شیب و ارتفاع نیز که در واقع فاکتورهای توپوگرافیکی سطح دشت به‌شمار می‌روند، ارتباط منفی با توزیع فضایی سایت‌های باستانی دوره گودین III در سطح دشت داشته‌اند. پایین‌ترین طبقه ارتفاعی سطح دشت (طبقه ارتفاعی ۱۲۰۰ تا ۱۵۰۰ متر) که دارای کم‌ترین شیب و هموارترین اراضی بوده است (شیب کم‌تر از ۵ درجه)، در واقع بستر اصلی را برای ایجاد و توسعه استقرار محوطه‌های باستانی دوره گودین III فراهم کرده است.

جدول ۸. ماتریس هم‌بستگی بین توزیع فضایی سایت‌های باستانی دوره گودین III در ارتباط با عوامل محیطی در سطح اطمینان ۰/۹۵ (P_value=0.05) در سطح دشت سیلاخور

| فاکتورهای محیطی | ضریب هم‌بستگی پیرسون | آماره معنی‌داری P_value | فرضیه‌ها |
|-------------------------------|----------------------|-------------------------|--|
| پوشش گیاهی محصول سنجنده MODIS | ۰/۷۵ | ۰,۰۰۲* | توزیع فضایی معنی‌دار سایت‌های باستانی در اشکوب‌های پوشش گیاهی غنی (NDVI > 0.4) در سطح دشت |
| بارش سالانه | ۰/۶۴ | ۰,۰۰۴* | توزیع فضایی معنی‌دار سایت‌های باستانی در پهنه‌های پربارش سطح دشت (بارش بیش از ۳۴۰ میلی‌متر در سال - امکان ایجاد پوشش گیاهی غنی در طول سال) |
| ارتفاع | -۰/۵۳ | ۰,۰۰۸۹* | توزیع معنی‌دار سایت‌های باستانی در پایین‌ترین تراز ارتفاعی سطح دشت (نشانه عدم وجود دشمن خارجی و نیز اهمیت دسترسی به منابع آب و پوشش گیاهی در سطح دشت) |
| شیب | -۰/۵۱ | ۰,۰۰۹* | توسعه معنی‌داری سایت‌های باستانی در طبقه شیب کم‌تر از ۵ درجه که اراضی هموار کف دشت است، وجود رودخانه اصلی سیلاخور در کف دشت، و غنای پوشش گیاهی و مراتع و باغات این بخش از دشت تسهیلات مناسبی برای توسعه این سکونت‌گاه‌ها در این بخش از دشت بوده است. |
| فاصله از منابع آب سطحی | -۰/۳۴ | ۰,۰۰۴* | توسعه ۰/۹۰ درصد از سایت‌های باستانی در فاصله کم‌تر از ۱ کیلومتر از منابع آب سطحی به‌ویژه رودخانه دائمی سیلاخور. این هم‌بستگی منفی بیانگر آن است که با دور شدن از شبکه‌های رودخانه‌های دائمی از تراکم سایت‌های باستانی به شدت کاسته می‌شود. |

Table 8. Correlation matrix between the spatial distribution of ancient sites of the Godin III period in relation to environmental factors at a confidence level of 0.95 (P_value=0.05) in the Silakhor plain

** در سطح اطمینان ۰/۹۵ (P_value=0.05) ارتباط معنی‌دار بوده است

فصلنامه برنامه‌ریزی و آمایش فضا

۷. بحث

دوره گودین III یا عصر مفرغ جدید (۲۶۰۰ سال تا ۱۵۰۰ سال قبل از میلاد) مهم ترین مرحله عصر مفرغ است. این دوره پیش از تاریخ در ایران، به جهت برخی از تحولات از جمله: ظهور شهرنشینی، پیدایش خط و نگارش در مناطق جنوب غربی، پیدایش برخی از فناوری‌ها از (ساخت فلز مفرغ و ...) دارای اهمیت است (طلایی، ۱۳۸۸: ۱۱۴). در این دوره عناصر محیطی از جمله ویژگی‌های توپوگرافی و فیزیوگرافی محیط، دسترسی به منابع آب به ویژه آب‌های سطحی، اقلیم و آب و هوای مناسب بدون تنش‌های گرمایی و سرمایی، نقش مهمی در تشکیل و توسعه هسته‌های سکونت گاهی داشته‌اند (حیدریان، ۱۳۹۲: ۱۴۴). دشت سیلاخور دارای وضعیتی مناسب به لحاظ جغرافیایی و اقلیمی است. دشت هموار و خاک حاصلخیز در کنار منابع آبی کافی، موجب شده است در این دشت شاهد تعداد زیادی محوطه‌های باستانی از دوران نوسنگی تا قرون اخیر باشیم (احمد پرویز، ۱۳۸۵: ۱۲). در این تحقیق به‌کارگیری مدل آمار فضایی موران عمومی برای آشکارسازی الگوی توزیع فضایی سایت‌های دوره گودین III بیانگر یک الگوی توزیع فضایی کاملاً خوشه بندی شده غیر تصادفی است. این الگو این مسئله را به ذهن متبادر می‌سازد که توزیع فضایی استقرارهای انسانی در سطح دشت سیلاخور تحت تأثیر مؤلفه‌های خاصی شکل گرفته است. در ادامه مشخص شد که عوامل محیطی دشت سیلاخور، در واقع شکل دهنده اصلی ساختار توزیع فضایی خوشه‌ای سایت‌های باستانی دوره گودین III بوده است. نقش آفرینی مؤلفه‌های محیطی در شکل‌دهی ساختار توزیع فضایی استقرارگاه‌های باستانی دوره‌های مختلف به ویژه دوره مفرغ در تحقیقات متعددی اثبات شده است (حیدریان، ۱۳۹۲؛ موسوی کوهر و همکاران، ۱۳۹۰؛ بهرامی و همکاران، ۱۳۹۶؛ عنانی و ایروانی قدیم، ۱۳۹۸؛ گهرتی و همکاران، ۱۳۹۸؛ جولایی و همکاران، ۱۴۰۰). دسترسی به منابع آب و منابع غذایی از مهم ترین مؤلفه‌ها و امکانات محیطی در شکل‌دهی ساختار خوشه‌ای توزیع فضایی سکونتگاه‌های دوره گودین III در سطح دشت سیلاخور بوده است. این یافته نه تنها در دشت حاصلخیز و غنی سیلاخور، بلکه در نواحی نسبتاً خشک کشور از جمله خراسان جنوبی (عنابی و ایروانی قدیم، ۱۳۹۸)، دشت سنقر (حیدریان، ۱۳۹۲)، محوطه‌های باستانی استان مازندران (موسوی کوهر و همکاران، ۱۳۹۰)، نیز مورد تأیید قرار گرفته است. در این تحقیق دیده شد که شبکه‌های رودخانه‌های دائمی سطح دشت و نیز غنا و تراکم پوشش گیاهی دو نمایه اصلی معیشت و تأمین منابع در سطح دشت هستند، که شاکله اصلی توزیع فضایی خوشه‌ای استقرارگاه‌های دوره گودین III را در سطح دشت سیلاخور تشکیل داده‌اند. مطالعاتی که روی الگوی توزیع فضایی سکونتگاه‌های باستانی عصر آهن در دشت مهاباد (جولایی و همکاران، ۱۴۰۰) و سکونتگاه‌های عصر مس و سنگ و مفرغ در خراسان جنوبی (عنانی و ایروانی قدیم، ۱۳۹۸)، نیز انجام گرفت آشکار کرد که دو مؤلفه مذکور یعنی دسترسی به منابع آب سطحی و غنای پوشش گیاهی نقش کلیدی در توزیع فضایی استقرارگاه‌های باستانی داشته‌اند، اما تراز ارتفاعی قابل سکونت در تحقیقات مختلف یکسان گزارش نشده است. در این تحقیق دیده شد که حدود ۷۰ درصد از استقرارگاه‌های باستانی دوره گودین III در تراز ارتفاعی کم‌تر از ۱۶۰۰ متر که به نوعی تراز ارتفاعی کمینه دشت سیلاخور بود، توزیع شده است و این تراز ارتفاعی کف دشت، شرایط زیستی و بیواقلیمی ایدئالی را در سطح دشت برای استقرارگاه‌های گودین III فراهم کرده است، اما در تحقیق حیدریان (۱۳۹۲)

فصلنامه برنامه‌ریزی و آمایش فضا

دیده شد که تراز ارتفاعی ایدئال برای استقرار سکونتگاه‌های باستانی در دشت کنگاور، تراز ۱۸۰۰-۱۹۰۰ متر بوده است، درحالی که در خراسان جنوبی تحقیق عنانی و ایروانی قدیم (۱۳۹۸) نشان داد که حدود ۸۰ درصد از سایت‌های باستانی عصر مس و سنگ و مفرغ در ارتفاع کمینه دشت سرایان خراسان جنوبی توزیع شده‌اند. در دشت مهاباد نیز تحقیق جولایی و همکاران (۱۴۰۰) نشان داد که ۸۰ درصد از استقرارگاه‌های باستانی عصر آهن در تراز ارتفاعی ۱۲۰۰ تا ۱۵۰۰ سطح دشت مهاباد توزیع شده‌اند. اما نقش مؤلفه پوشش اراضی یا کاربری اراضی به‌عنوان یک عامل محیطی تأثیرگذار در توزیع فضایی استقرارگاه‌های باستانی در تحقیقات کم‌تری مدنظر قرار گرفته است. در این تحقیق دیده شد که پهنه‌هایی از دشت سیلاخور که امروزه به اراضی زراعی آبی و باغات تبدیل شده‌اند، و دارای غنی‌ترین میزان سبزی‌نگی دوره رشد هستند (از محصولات سنجش از دوری MCD12Q1 و MOD11A3 سنجنده MODIS استفاده شد)، زیست‌پذیرترین طبقه پوشش اراضی در سطح دشت در دوره مفرغ جدید یا گودین III بوده‌اند. این اراضی که امروزه به کاربری اراضی زراعی آبی و باغات اختصاص دارند، می‌توانند در دوره مفرغ مراتع غنی بوده باشند که چراگاه‌های مناسبی برای استقرارگاه‌های باستانی را تشکیل داده‌اند. به‌طور کلی نتیجه‌ای که از این تحقیق به‌دست آمد این بود که الگوی توزیع فضایی استقرارگاه‌های باستانی دوره گودین III در سطح دشت سیلاخور در واقع نه یک الگوی تصادفی، بلکه یک الگوی کاملاً هوشمند و برنامه‌ریزی شده در راستای دسترسی و بهره‌برداری بیشینه به منابع آب و با پوشش گیاهی با کم‌ترین هزینه و کم‌ترین زمان بوده است. این الگو در تحقیقات متعددی (از جمله حیدریان، ۱۳۹۲؛ موسوی کوهپر و همکاران، ۱۳۹۰؛ بهرامی و همکاران، ۱۳۹۶؛ عنانی و ایروانی قدیم، ۱۳۹۸؛ گهرتی و همکاران، ۱۳۹۸؛ جولایی و همکاران، ۱۴۰۰) نیز آشکار و تأیید شده است.

۸. نتیجه‌گیری

تحلیل توزیع فضایی استقرارگاه‌های انسانی در هر محیط در دوره‌های باستانی می‌تواند بر زوایای پنهانی از ارتباطات این جوامع و نحوه انطباق آن‌ها با آن محیط نور بتاباند و شبکه‌ای از روابط پیچیده و گاه پیشرفته بهره‌گیری این جوامع از منابع محیطی را آشکار کند. مجموعه درهم‌تنیده‌ای از فرصت‌ها، تهدیدها، نقاط قوت و نقاط ضعف هر محیط به صورت یکپارچه عمل کرده و برآیند آن در الگوی استقرار و مکان‌گزینی سکونتگاه‌های باستانی و نیز نحوه معیشت و اقتصاد آن‌ها قابل‌بازرسی است. این پژوهش نشان داد که الگوی توزیع فضایی سکونت‌گاه‌های دوره گودین III در سطح دشت سیلاخور در راستای وابستگی کامل به امکانات و منابع دشت بود. براساس نتایج توزیع فراوانی سایت‌های باستانی در سطح دشت سیلاخور با دو فاکتور طبیعی بارش و به تبع آن پوشش گیاهی ارتباط مستقیمی دارد. همچنین حدود ۹۰ درصد از سایت‌های مورد بررسی در فاصله کم‌تر از ۱ کیلومتر از رودخانه‌های دائمی سطح دشت به‌ویژه رودخانه سیلاخور قرار گرفته‌اند. بنابراین عوامل فیزیکی در حوضه سیلاخور شامل ارتفاع، بارش، پوشش گیاهی و موقعیت منابع آب سطحی، الگوی توزیع فضایی مترام و خطی سایت‌های باستانی دوره گودین III را در پایین‌ترین تراز ارتفاعی

دشت (ارتفاع کم تر از ۱۵۰۰ متر که به نوعی کف دشت سیلاخور به حساب می آید) شکل داده اند. نتایج نشان داد که عوامل توپوگرافیکی شرایط مناسب برای ایجاد، توسعه و استقرار محوطه های باستانی دوره گودین III را در پایین ترین طبقه ارتفاعی سطح دشت سیلاخور (طبقه ارتفاعی ۱۲۰۰ تا ۱۵۰۰ متر) که دارای کم ترین شیب و هموارترین اراضی بوده است (شیب کم تر از ۵ درجه)، فراهم کرده است، که این مسئله از نظر باستان شناسی به نوعی عدم وجود تهدید عمده از طرف دشمن خارجی را نیز به ذهن القا می کند. لذا در دشت سیلاخور می توان نقش عنصر فیزیوگرافی حوضه شامل ناهمواری را در استقرار محوطه های باستانی پررنگ تر از عنصر اقلیمی بارش دانست.

منابع

- بهرامی، ا.، رضالو، ر.، و آفتاب، ا. (۱۳۹۶). نقش عوامل طبیعی در توزیع اکولوژیک زیستگاه های باستانی استان اردبیل. *فضای جغرافیایی*، ۱۷ (۵۷)، ۱۳۹-۱۵۷. URL: <http://geographical-space.iau-ahar.ac.ir/article-1-692-fa.html>
- پرویز، ا. (۱۳۸۵). *بررسی و شناسایی شهرستان بروجرد*. خرم آباد: بایگانی میراث فرهنگی استان لرستان (منتشر نشده).
- جولایی، و.، رضالو، ر.، حاجی زاده، ک. (۱۴۰۰). تحلیل نقش عوامل محیط طبیعی در نظام استقرار سکونتگاه های باستانی (نمونه موردی: محوطه های عصر آهن ۳ دشت مهاباد). *جغرافیا و برنامه ریزی منطقه ای*، ۱۱ (۴)، ۴۷-۷۱. 10.22034/jgeoq.2021.128868
- حیدری، ف.، نیکنمی، ک.، و فیروزمندی، ب. (۱۳۹۷). تحلیل الگوی زیستی و مکان گزینی محوطه های عصر مفرغ دشت کوه دشت. *باستان شناسی ایران*، ۱۸ (۱)، ۶۲-۷۷. DOI: 10.1016/j.aosi.2019.10.001
- حیدریان، م. (۱۳۹۲). تحلیل نقش عوامل طبیعی در توزیع فضایی استقرارهای پیش از تاریخ در دشت سنقر. *پژوهش های باستان شناسی ایران*، ۳ (۴)، ۱۵۲-۱۳۹. URL: https://nbsh.basu.ac.ir/article_568.html
- طلائی، ح. (۱۳۹۰). *ایران پیش از تاریخ: عصر مس و سنگ*. تهران: سمت.
- عنانی، ب.، و ایروانی قدیم، ف. (۱۳۹۸). بررسی الگوهای استقرار عصر مس و سنگ و مفرغ در منطقه سرایان، خراسان جنوبی. *پژوهش های باستان شناسی ایران*، ۱۰ (۲۴)، ۲۷-۴۶. DOI: 10.22084/NBSH.2020.20724.2063.46
- محمدی فر، ی. (۱۳۸۶). نگاهی به دستاوردهای طرح پژوهشی بررسی و شناسایی باستان شناسی شهرستان صحنه. *مطالعات ایرانی*، ۱۱ (۶)، ۱۷۳-۱۹۴. URL: <http://noo.rs/eVqGX>
- مقدم، ع.، و نوری، ع. (۱۳۹۶). الگوهای زیستگاهی عصر مفرغ دشت سیلاخور. *مطالعات باستان شناسی*، ۹ (۲)، ۱۳۷-۱۵۵. DOI: 10.22059/JARCS.2018.211247.142308.155
- مقصودی، م.، شرفی، س.، و شرفی، ف. (۱۳۹۳). عوامل طبیعی تأثیرگذار بر الگوی پراکنش سایت های باستانی دشت سیلاخور در استان لرستان. *جغرافیا و توسعه ناحیه ای*، ۲۲ (۱۲)، ۱۷۲-۱۹۱. DOI: 10.22067/GEOGRAPHY.V12I22.32100.
- مقصودی، م.، کامرانی دلیر، ح.، و هاشمی، م. (۱۳۹۸). تأثیر عوامل محیطی در مکان گزینی استقرارگاه های باستانی در اطراف کهن دریاچه های شمالی دشت کویر (هولوسن). *کواترنری ایران*، ۵ (۲)، ۲۶۳-۲۷۷. URL: <http://journal.iranqua.ir/article-1-386-fa.html>

- مقصودی، م.، زمانزاده، س.م.، اهدائی، ا.، یوسفی زشک، ر.، و یمانی، م. (۱۳۹۴). تحلیل نقش عوامل محیطی در مکان‌گزینی سکونتگاه‌های پیش از تاریخ دشت ورامین با استفاده از منطق فازی. *برنامه‌ریزی و آمایش فضا*، ۱۹ (۳)، ۲۶۱-۲۶۳. URL: <http://hsmmp.modares.ac.ir/article-21-11056-fa.html>
- مقصودی، م.، زمانزاده، س.م.، فاضلی نشلی، ح.، و چزغه، س. (۱۳۹۱). نقش ساختارهای محیطی در الگوی استقرار محوطه‌های پیش از تاریخ دشت تهران با استفاده GIS. *برنامه‌ریزی و آمایش فضا*، ۱۶ (۴)، ۱۰۹-۱۳۷. URL: <http://hsmmp.modares.ac.ir/article-21-6000-fa.html>
- منادی، ع.، ولی‌پور، ح.ر.، و نقشینه، ا.ص. (۱۴۰۰). تحلیل الگوهای استقراری عصر مس و سنگ در دشت سیلاخور با استفاده از تحلیل‌های GIS. *مطالعات باستان‌شناسی پارسه*، ۵ (۱۵)، ۵۷-۷۱. <http://noo.rs/UwfDA>
- موسوی کوهپیر، س.م.، حیدریان، م.، آقایی هیر، م.، وحدتی‌نسب، ح.، خطیب شهیدی، ح.، و نیستانی، ج. (۱۳۹۰). تحلیل نقش عوامل طبیعی در توزیع فضایی محوطه‌های باستانی استان مازندران. *پژوهش‌های جغرافیا طبیعی*، ۷۵ (۴۳)، ۱-۱۸. <http://noo.rs/qDigS>
- میرقادری، م.ا.، حسینی، س.پ.، علی‌بیگی، س.، و نیکزاد، م. (۱۳۹۲). تحلیل الگوهای استقراری عصر مفرغ میانی و جدید دشت سرفیروزآباد در جنوب کرمانشاه، غرب زاگرس مرکزی. *مطالعات باستان‌شناسی*، ۵ (۱)، ۱۲۷-۱۴۴. 10.22059/JARCS.2013.35948
- واندنبرگ، ل. (۱۳۷۹). *باستان‌شناسی ایران باستان*. ترجمه ع. بهنام. تهران: انتشارات دانشگاه تهران.
- ویت، م.، و دایسون، ر.ه. (۱۳۸۲). *گاه‌نگاری ایران از حدود هشت هزار سال تا دو هزار پیش از میلاد*. ترجمه ا. پورفرج و ا. چایچی امیرخیز. کرمان: نسل باران.
- هژبری نوبری، ع.ر.، خانعلی، ح.، یلماز، آ.، موسوی کوهپیر، س.م.، و حاجی‌زاده باستانی، ک. (۱۳۹۶). تحلیل مؤلفه‌های جغرافیایی و فرهنگی - اجتماعی مؤثر بر فرایند شکل‌گیری و توسعه محوطه باستانی شهریری. *برنامه‌ریزی و آمایش فضا*، ۲۲ (۱)، ۱-۲۱. <http://hsmmp.modares.ac.ir/article-21-16478-fa.html>
- هنریکسون، ر.، و هول، ف. (۱۳۸۲). *باستان‌شناسی غرب ایران*. ترجمه ز. باستی. تهران: سمت.
- یوسفی زشک، ر.، و باقی‌زاده، س. (۱۳۹۱). کاربرد سیستم‌های اطلاعات جغرافیایی (GIS) تحلیل الگوی استقراری: مطالعه موردی محوطه‌های دشت درگز از دوره نوسنگی IV تا پایان عصر آهن. *پژوهش‌های باستان‌شناسی ایران*، ۲ (۲)، ۷-۲۴. https://nbsh.basu.ac.ir/article_425.html?lang=fa
- Anani, B., & Irvani Kaidim, F. (2019). Investigation of settlement patterns of Copper, Stone and Bronze Age in Sarayan region, South Khorasan. *Archaeological Researches of Iran*, 10 (24), 27-46. DOI: 10.22084/NBSH.2020.20724.2063 (In Persian)
- Bahrami, A., & Rezaloo, R., & Aftab, A. (2017). The role of natural factors in the ecological distribution of archeological sites in Ardabil province. *Geographical Space*, 17 (57), 139-157. URL: <http://geographical-space.iau-ahar.ac.ir/article-1-692-en.html>. (In Persian)
- Dyson, R., & Young, T. (1960). The Solduz Valley, Iran, Pisdeli tepe. *Antiquity*, 34, 19-28. DOI: <https://doi.org/10.1017/S0003598X00035122>
- Fang, C., Wang, Z., & Xu, G. (2016). Spatial-temporal characteristics of PM2. 5 in China: A city-level perspective analysis. *Journal of Geographical Sciences*, 26(11), 1519-1532. <https://doi.org/10.1007/s11442-016-1341-9>

- Heidarian, M. (2013). Analyzing the Role of Natural Factors in Spatial Distribution of Prehistoric Sites of Sonqor Plain. *Archaeological researches of Iran*, 3(4), 139-152. https://nbsh.basu.ac.ir/article_568.html. (In Persian)
- Hejebri Nobari, A., Khanali, H., Yilmaz, A., Mousavi Kouhpar, S. M., & Hajizade Bastani, K. (2018). Analysis and Investigation of Effective Geographical and Socio-Cultural Variables on Formation and Development of Shahryeri. *The Journal of Spatial Planning*, 22 (1), 1-21. URL: <http://hsmmp.modares.ac.ir/article-21-16478-en.html>. (In Persian)
- Henrickson, R., & Frank, H. (1987). *Archeology of Western Iran*. Tr. Basti, Z. The Organization for Researching and Composing university Textbooks in Islamic Sciences and the Humanities (SAMT). (In Persian)
- Heydari, F., & Niknami, K., & Firouzmandi, B. (2018). Analysis of the biological pattern and location selection of Bronze Age sites in the Kohdasht plain. *Archeology of Iran*, 8(1), 62-77. DOI: 10/AOI-1809-1036. (In Persian)
- Jacobson, M.J., Pickett, J., Gascoigne, AL., Fleitmann, D., & Elton, H. (2022). Settlement, environment, and climate change in SW Anatolia: Dynamics of regional variation and the end of Antiquity. *PLoS ONE*, 17(6), e0270295. <https://doi.org/10.1371/journal.pone.0270295>
- Joolae, V., Rezaloo, R., Hajizadeh, K., & Afkhami, B. (2021). Analysis of the role of natural environmental factors in the establishment of ancient settlements (Case Study: Mahabad plain Iron Ave). *Quarterly of Geography & Regional Planning*, 11 (4), 47-71. DOI: 10.22034/JGEOQ.2021.128868. (In Persian)
- Maghsoudi, M. (2019). The effect of environmental factors on the location of ancient sites around the ancient northern lakes of the desert plain (Holocene). *Quaternary Journal of Iran*, 5 (2), 263-277. URL: <http://journal.iranqua.ir/article-1-386-en.html>. (In Persian)
- Maghsoudi, M., Zamanzadeh, S. M., Fazeli Nashli, H., & Chegheh, S. (2013). The role of natural structures in the settlement pattern of prehistoric sites in the Tehran plain with the usage of GIS. *The Journal of Spatial Planning*, 16 (4), 109-137. URL: <http://hsmmp.modares.ac.ir/article-21-6000-en.html>. (In Persian)
- Maghsoudi, M., & Sharafi, S., & Sharafi, F. (2014). Natural Factors Affecting the Distribution Pattern of Archaeological Sites in the Silakhor Plain, Lorestan Province. *Journal of Geography and Regional Development*, 22(12), 172-191. DOI: 10.22067/GEOGRAPHY.V12I22.32100. (In Persian)
- Maghsoudi, M., Zamanzadeh, S. M., Ehdaei, A., Yousefi zoshk, R., & Yamani, M. (2015). Analysis of the role of environmental factors in site selection of prehistoric settlements in Varamin Plain with usage fuzzy logic. *The Journal of Spatial Planning*, 19 (19), 233-261. URL: <http://hsmmp.modares.ac.ir/article-21-11056-en.html>. (In Persian)
- Mandi, A., Walipour, H., & Nakhsineh, A. (2021). Analysis of Bronze Age Settlement Patterns in Silakhor Plain Using GIS Analysis. *Parse Archaeological Studies*, 5 (15), 57-71. <http://noo.rs/UwfDA>. (In Persian)
- Mirghaderi, M.A., Hosseini, P., Alibeigi, S., & Nikzad, M. (2013). Settlement Patterns of the Late and Middle Bronze Age Sites of Sarfirouzabad Plain of Kermanshah, West Central Zagros. *Journal of Archaeological Studies*, 5(1), 127-144. DOI: 10.22059/JARCS.2013.35948. (In Persian)
- Moghaddam, A., & Nouri, A. (2017). Bronze Age Settlement Patterns in the Silakhor Plain. *Journal of Archaeological Studies*, 9(2), 137-155. DOI: 10.22059/JARCS.2018.211247.142308. (In Persian)

- Mohammadifar, Y. (2007). A review of the achievements of the archaeological research project of Sahne city. *Journal of Iranian Studies*, 11(6), 173-194. <http://noo.rs/eVqGX>. (In Persian)
- Mousavi Kouhpar, S.M., Heydarian, M., Aghayari Hir, M., Vahdatinasab, H., Khatib Shahidi, H., & Nuristani, J. (2011). The Analysis of the Role of Natural Factors in Spatial Distribution of Archaeological Sites, in Mazandaran Province. *Physical Geography Research Quarterly*, 75(43), 1-18. <http://noo.rs/qDigS>. (In Persian)
- Muscarella, O. W. (1974). The Iron Age at Dinkha Tepe, Iran. *Metropolitan Museum Journal*, 9, 35_90. <https://doi.org/10.2307/1512656>.
- Nikulina, A. (2019). GIS-based analysis of settlement patterns for the central Baraba Lowland (Western Siberia, Russia) in relation to climatic conditions of the Middle – Late Holocene. *Journal of Archaeological Science: Reports*, 24, 302-312
- Parviz, A. (2006). Investigation and identification of Boroujard city, Khorramabad. Cultural heritage archive of Lorestan province (unpublished). (In Persian)
- Smith, T. A. (1999). Late Bronze/Early Iron Age Fortresses of the Ararat and Shirak Plains. Armenia: Typological Considerations, 5(2), 73-97. DOI:10.1163/157005798X00017.
- Stine, S. O. (1940). *Old Routes in Western Iran*. New York: Green-Wood Press.
- Talai, H. (2011). *Prehistoric Iran: Copper and Stone Age*. Tehran, Samit Publications. (In Persian)
- Vandenberg, L. (2000). *Archeology of Ancient Iran*. Tr. Behnam, I. Tehran University Press. (In Persian)
- Waite, M., & Dyson, R. (2012). Chronicles of Iran from about eight thousand years to two thousand BC, tr. Porfaraj, A., & Chaichi Amirkhiz, A. Kerman, Nasl Baran Publishing House. (In Persian)
- Wang, Z.B., & Fang, C.L. (2016). Spatial-temporal characteristics and determinants of PM 2.5. in Bohai Rim Urban Agglomeration. *Chemosphere*, 148-62. <https://doi.org/10.1016/j.chemosphere.2015.12.118>
- Young, T. C. (1967). The Iranian migration into the Zagros. *Iran Journal of the British Institute of Persian Studies*, 5(1), 1-34. DOI: 10.1080/05786967.1967.1183476
- Yousefi Zoshk, R., & Baghizadeh, S. (2012). Application of Geographical Information Systems (GIS) in Analysis of Settlement Pattern, Case Study of Dargaz Plain's Sites From Neolithic Period Until the End of Iron Age IV. *Archaeological researches of Iran*, 2(2), 7-24. https://nbsh.basu.ac.ir/article_425.html?lang=en. (In Persian)